

# 利用卫星监测水稻生长阶段的甲烷排放

Space-based monitoring of methane emissions from rice paddies throughout rice growth stages

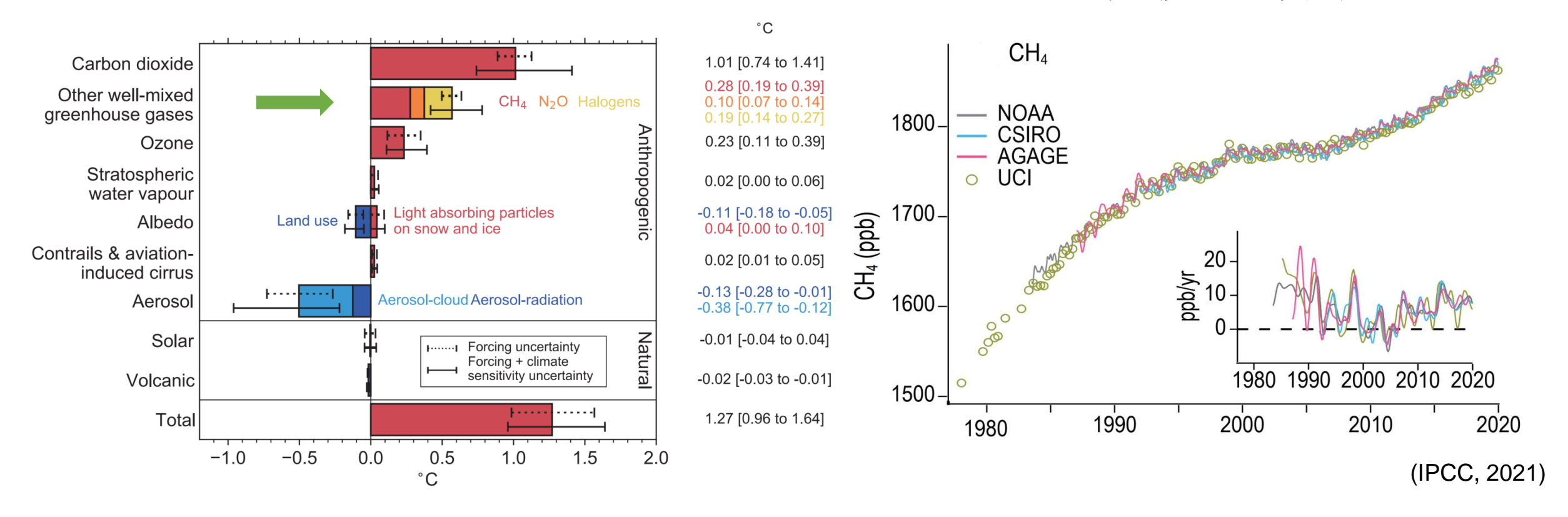
梁若思(liangruosi@westlake.edu.cn), 张羽中 西湖大学

2023.11.19 上海

### 甲烷是一种强有力的温室气体

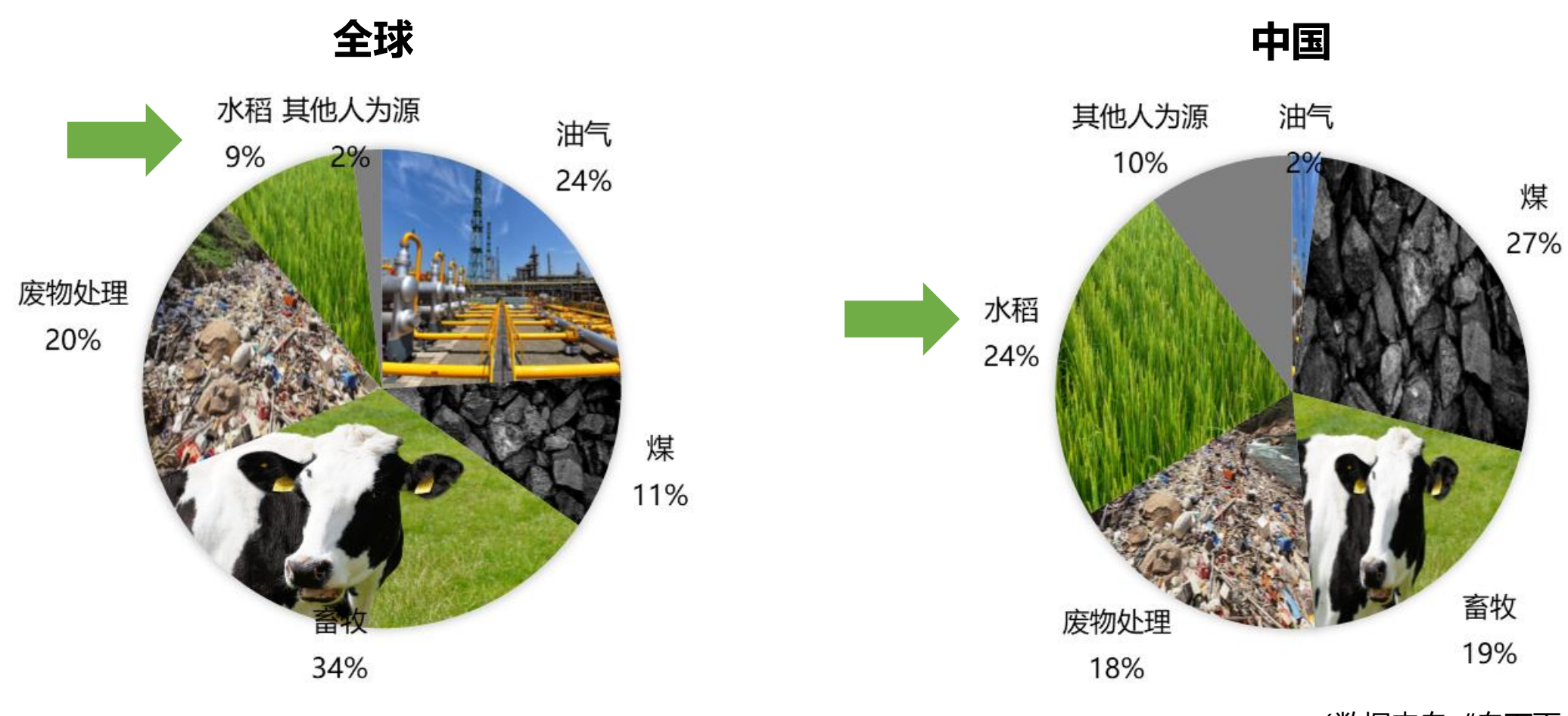
### 1750年至2019年全球气温变化的归因

### 甲烷浓度的历史变化趋势



- 甲烷是仅次于CO<sub>2</sub>的第二大温室气体。在20年时间尺度上,甲烷的全球升温潜势相当于CO<sub>2</sub>的80倍。
- 2023年7月,甲烷平均浓度为1915.25 ppb,是1750年工业化前水平的 265%。

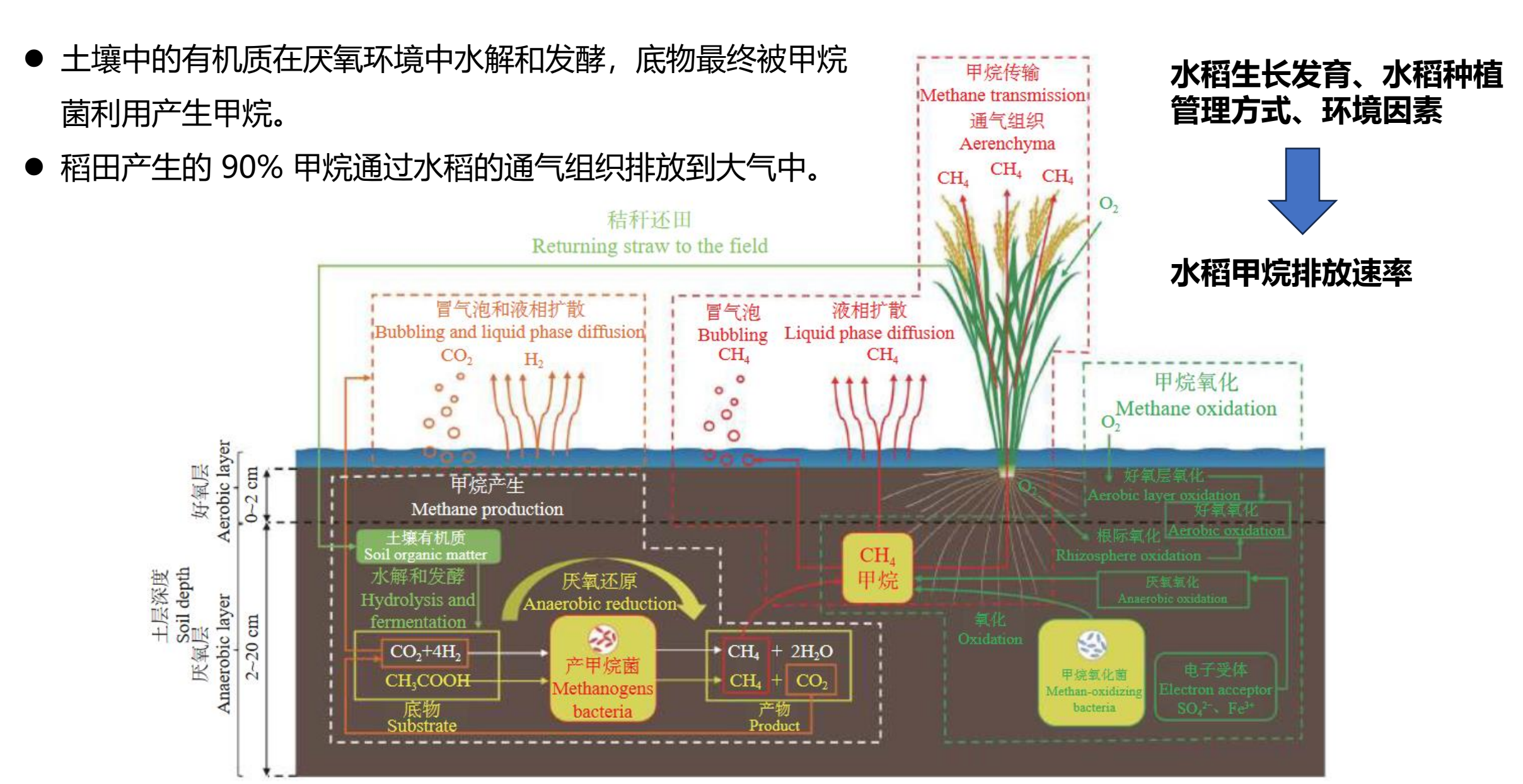
# 甲烷排放来源



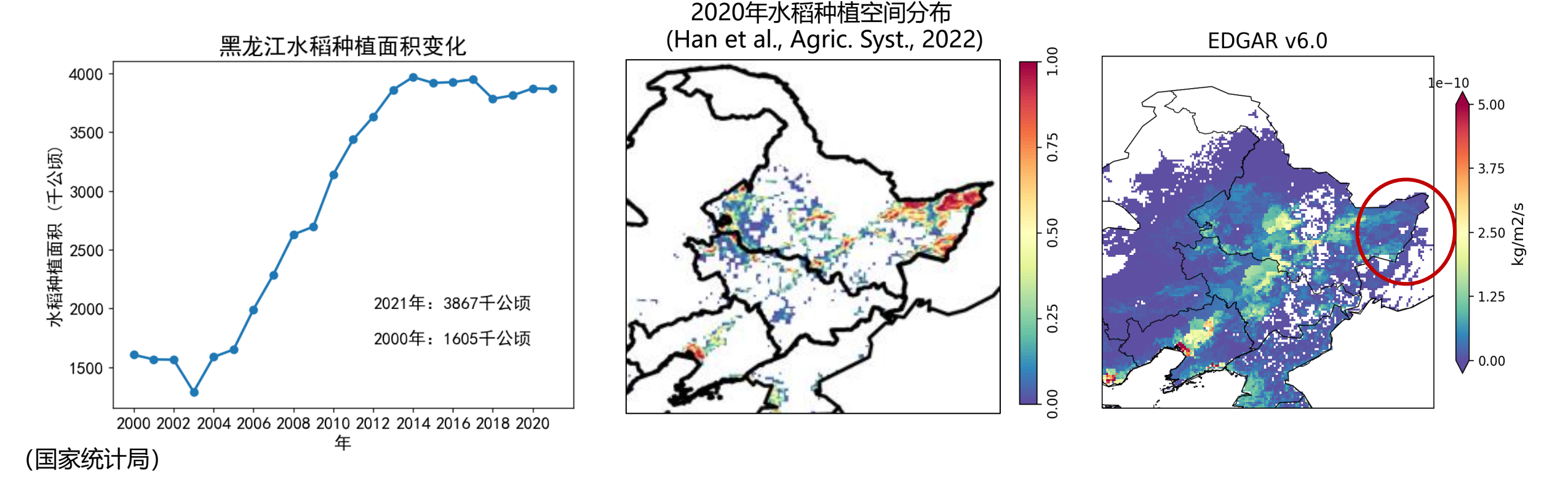
(数据来自"自下而上"清单)

● 水稻甲烷排放占全球甲烷排放人为源的9%,占全中国甲烷人为源排放的24%。

# 水稻甲烷产生和排放的过程



# 黑龙江的水稻种植与甲烷排放



- 黑龙江水稻种植面积快速增加; 2021年,黑龙江水稻种植面积占全国13%,全国第二。
- EDGAR v6.0 和水稻种植空间分布之间存在差异(主要在三江平原)。
- EDGAR 清单的黑龙江水稻甲烷排放仅占全国水稻甲烷排放的3%。

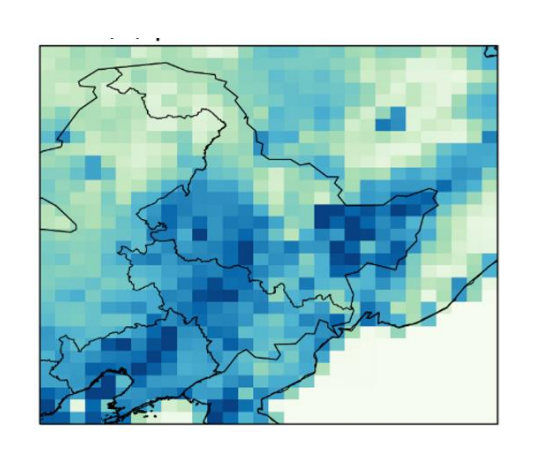
## 报告内容

- 基于卫星甲烷浓度观测,利用反演方法实现对黑龙江省水稻甲烷排放的优化:
  - 1. 水稻甲烷排放量的估算
  - 2. 水稻甲烷排放的季节性变化分析

## 甲烷排放反演方法

# 甲烷浓度观测数据 y 和观测误差 $S_0$

# 后验排放 $\hat{x}$ ("自上而下"的估计)



### 反演模型

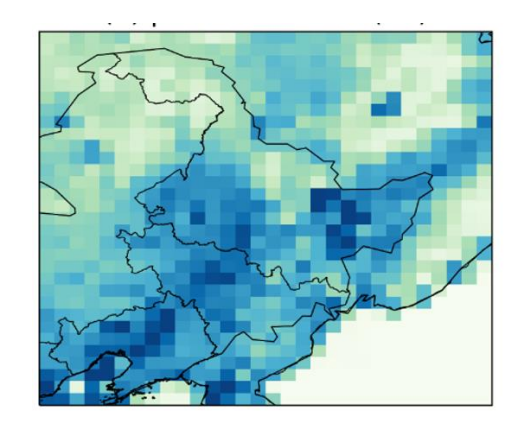
$$J(x) = (x - x_A)^{\mathrm{T}} S_A^{-1} (x - x_A) + (y - Kx)^{\mathrm{T}} S_0^{-1} (y - Kx)$$



$$\hat{x} = x_A + (K^T S_0^{-1} K + S_A^{-1}) K^T S_0^{-1} (y - K x_A)$$







先验排放  $x_A$ 和先验误差 $S_A$  ("自下而上"的估计)

### 3-D大气化学传输模式

$$y = F(x) = Kx + c$$

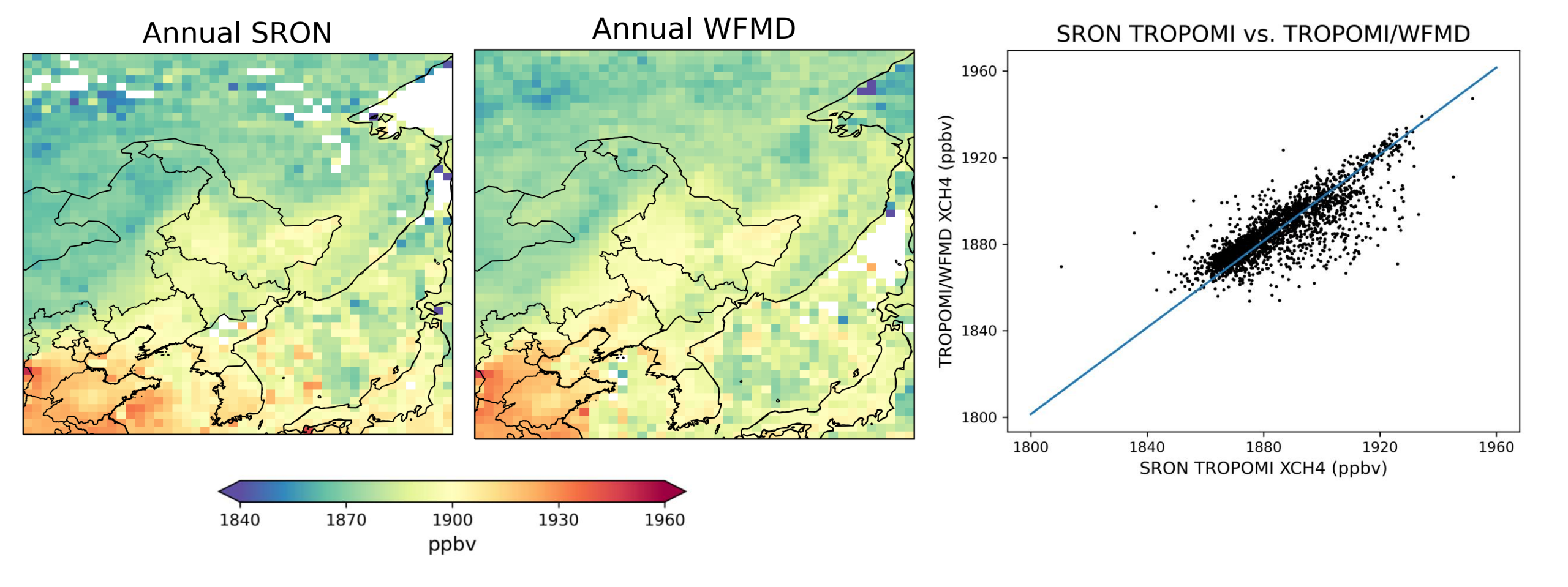


甲烷浓度模拟

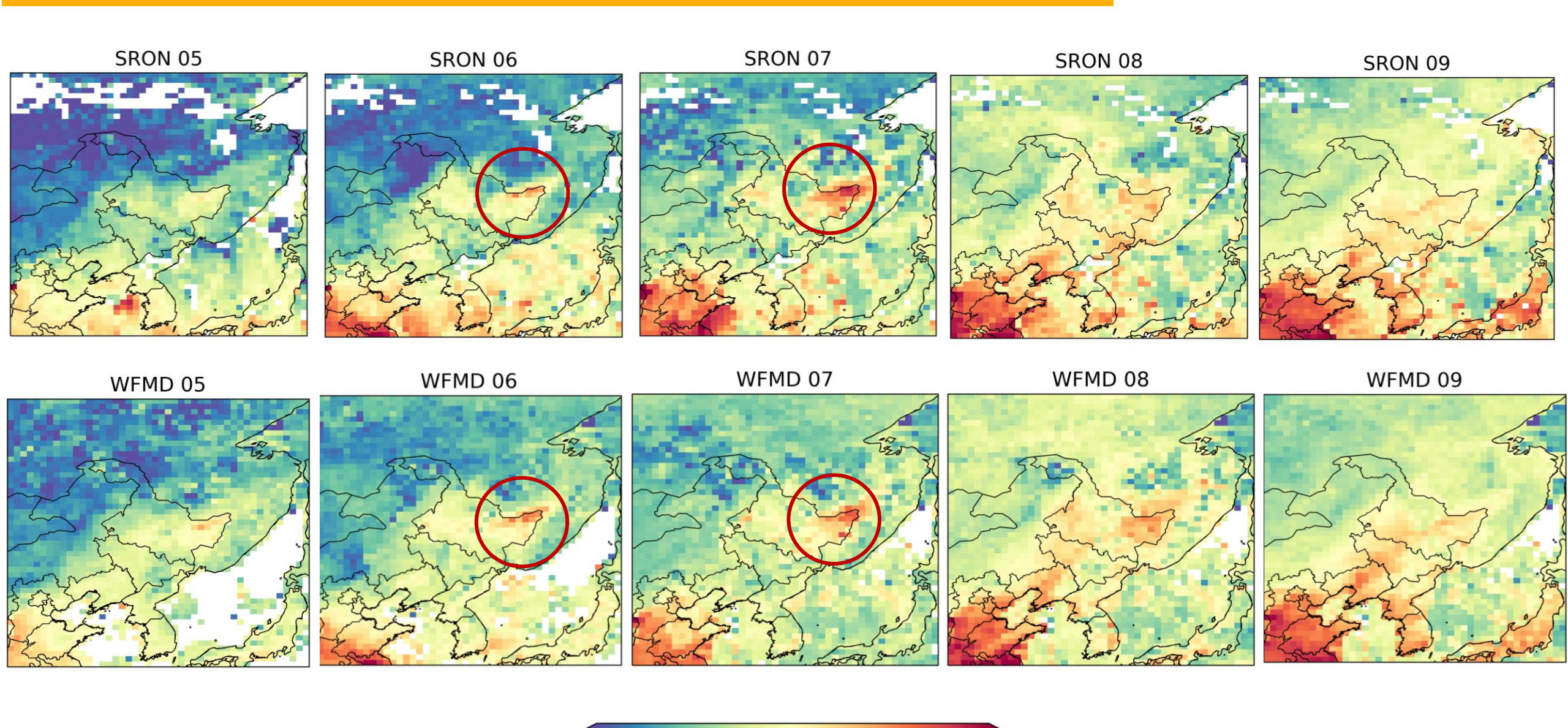
### TROPOMI卫星观测

### 两种 TROPOMI 卫星甲烷浓度观测产品:

- SRON TROPOMI: Full-physics retrieval algorithm, SRON Netherlands Institute for Space Research)
- TROPOMI/WFMD: Weighting Function Modified DOAS (WFMD) algorithm, University of Bremen



# TROPOMI卫星观测

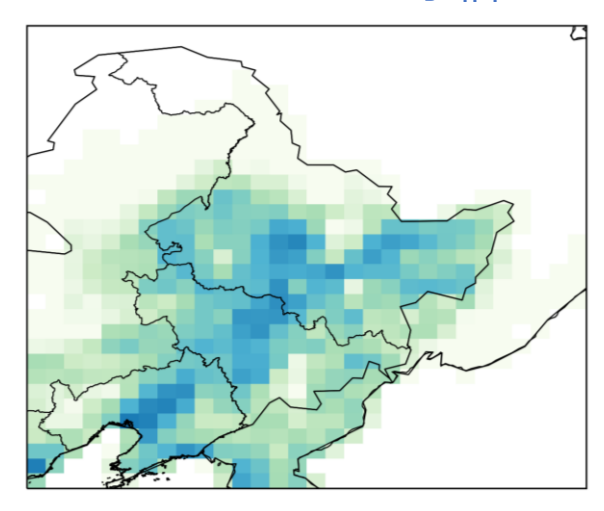


ppbv

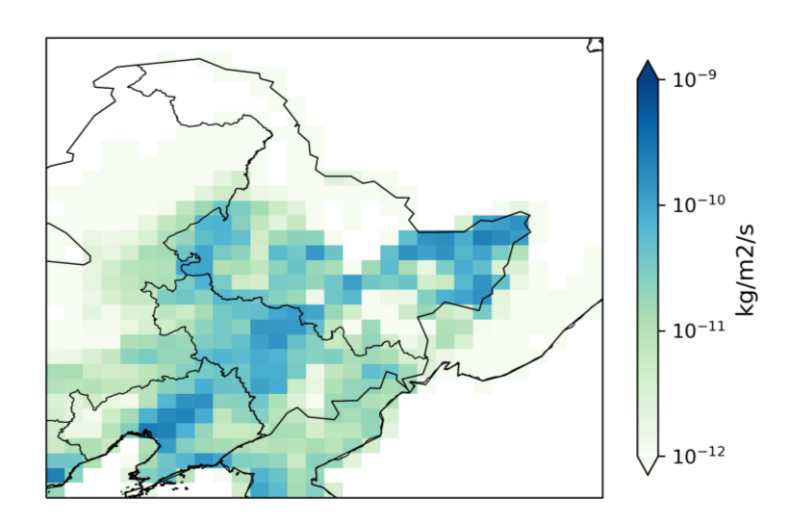
## 大气化学传输模式与反演设置

- 大气化学传输模式: GEOS-Chem v12.9.3,
- 空间水平分辨率: 0.5°× 0.625°, 垂直分辨率为47层
- 反演时间和频率: 2021年, 按月反演
- 研究区域: 中国东北 (39°N 54°N, 119°E 137°E)
- 主要人为源清单:
  - 油气, 畜牧, 废物处理, 水稻: EDGAR v6.0
  - 煤: EDGAR v6.0, GFEI v2
- 反演集合包含8个反演:
  - 使用不同的煤/水稻的先验清单,
  - 两种TROPOMI产品
  - 不同的先验清单不确定性假设。

### EDGAR v6.0 水稻



### 调整空间分布的EDGAR v6.0 水稻



### 黑龙江甲烷排放量估计

 $a^{-1}$ )

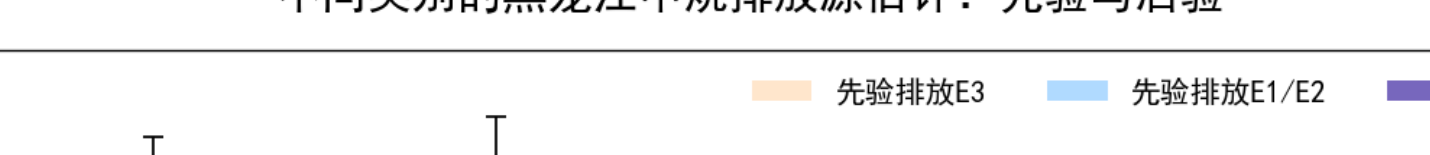
(Tg

甲烷排放

0.9

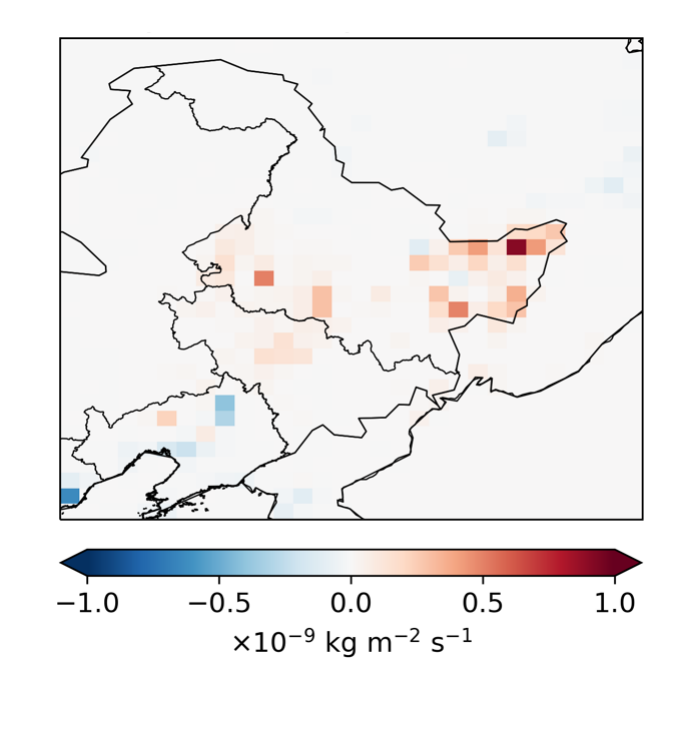
0.0

不同类别的黑龙江甲烷排放源估计: 先验与后验



后验排放 - 先验排放

后验排放

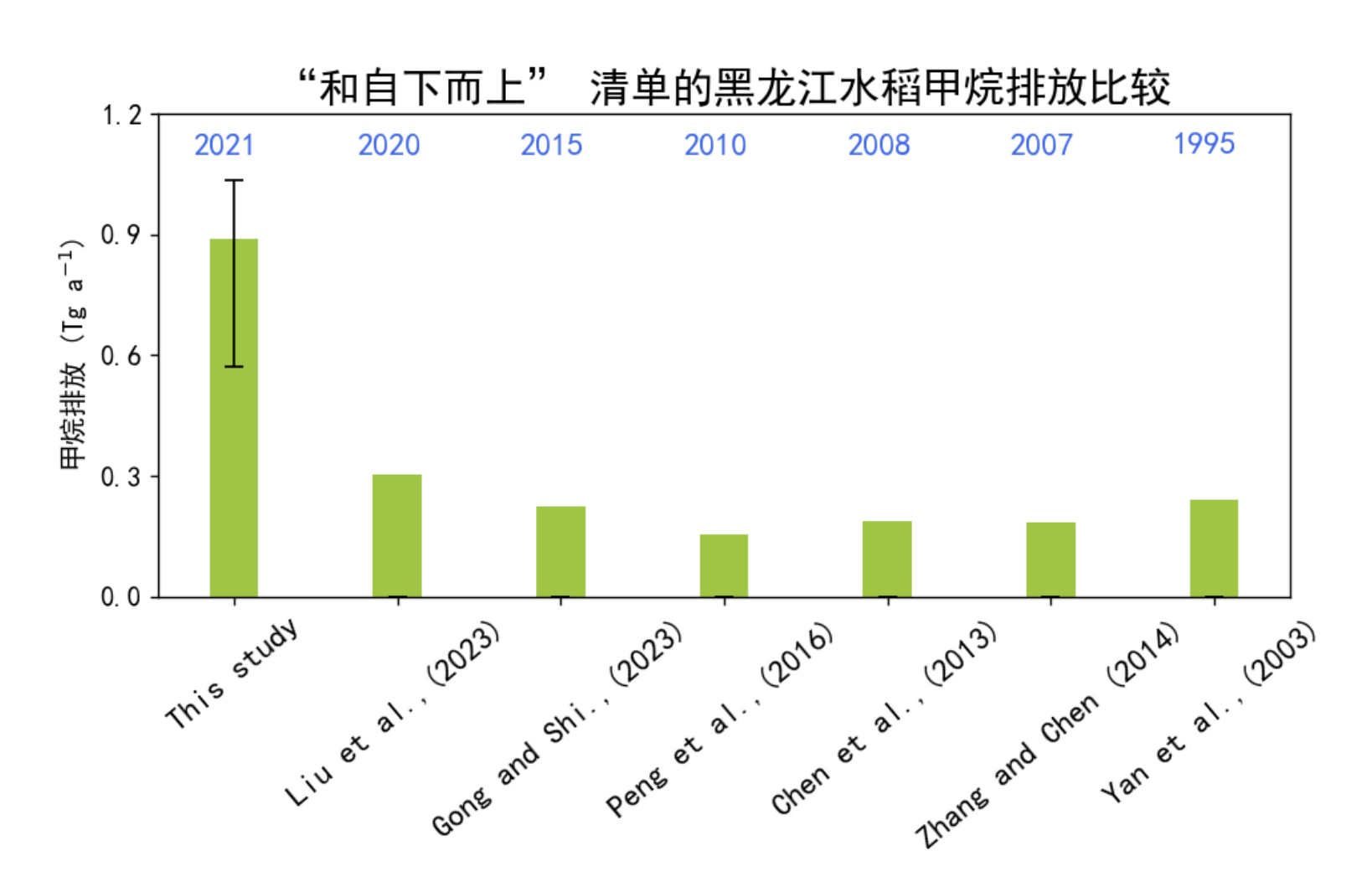


- 黑龙江甲烷总排放有较大调整: 2.4 Tg a<sup>-1</sup> \_\_\_\_\_\_ 3.16 (2.88 3.35) Tg a<sup>-1</sup>;
- 水稻是增幅最大的排放源,年均甲烷排放: 0.43 Tg a<sup>-1</sup> 0.89 (0.57 1.04) Tg a<sup>-1</sup>
- 黑龙江甲烷排放增加的区域主要在三江平原。

N KAR

# 与"自下而上"清单的水稻甲烷排放量比较

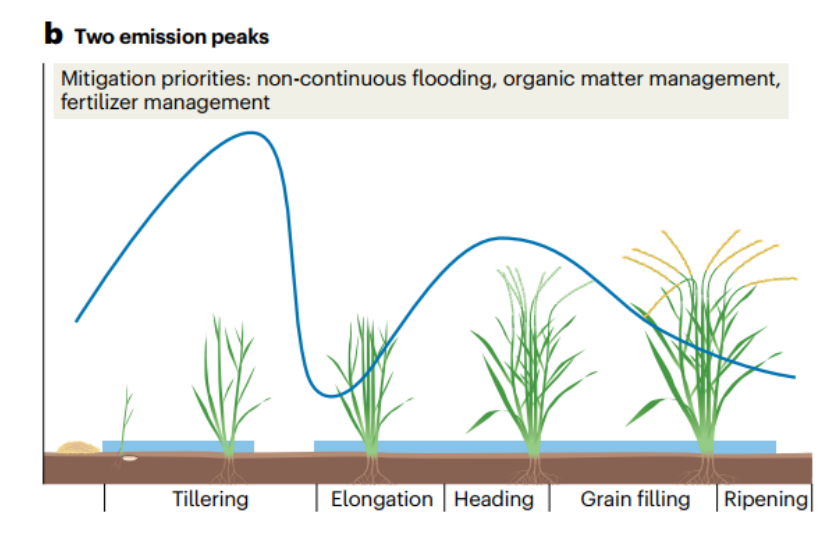
● "自下而上"清单: 甲烷排放量 = 排放因子 × 种植面积



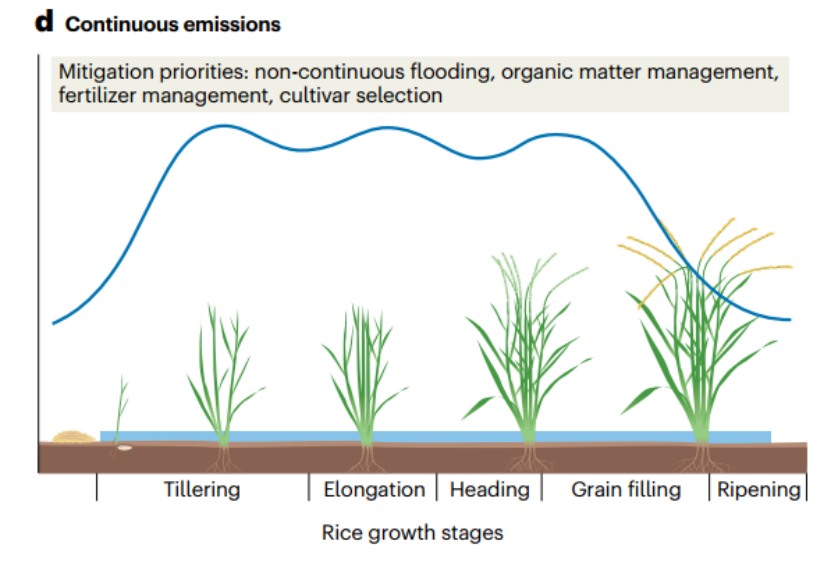
## 全球水稻甲烷排放的季节性变化模式

● 生长季节的甲烷排放动态在很大程度上取决于管理和环境条件,全球范围四种典型模式:

# Mitigation priorities: organic matter management, fertilizer management, cultivar selection Transplanting Residue Tillering Elongation Heading Grain filling Ripening

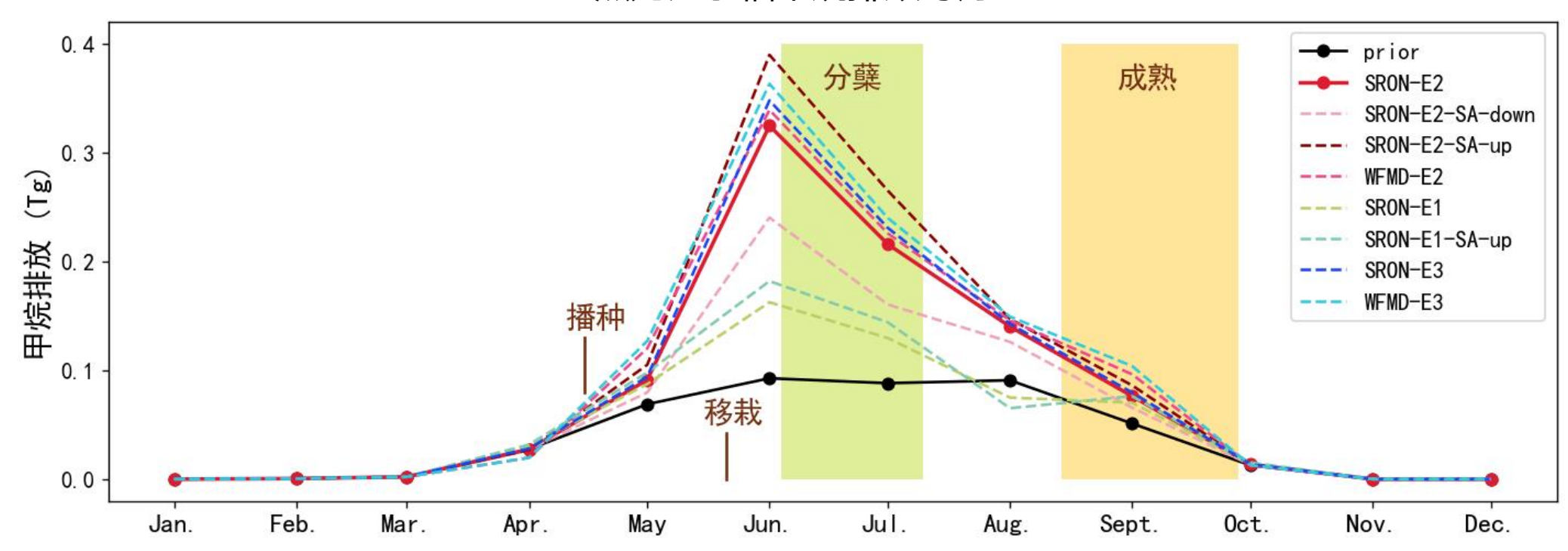


# Mitigation priorities: cultivar selection, non-continuous flooding Tillering Elongation Heading Grain filling Ripening Rice growth stages



# 黑龙江水稻甲烷排放的季节变化

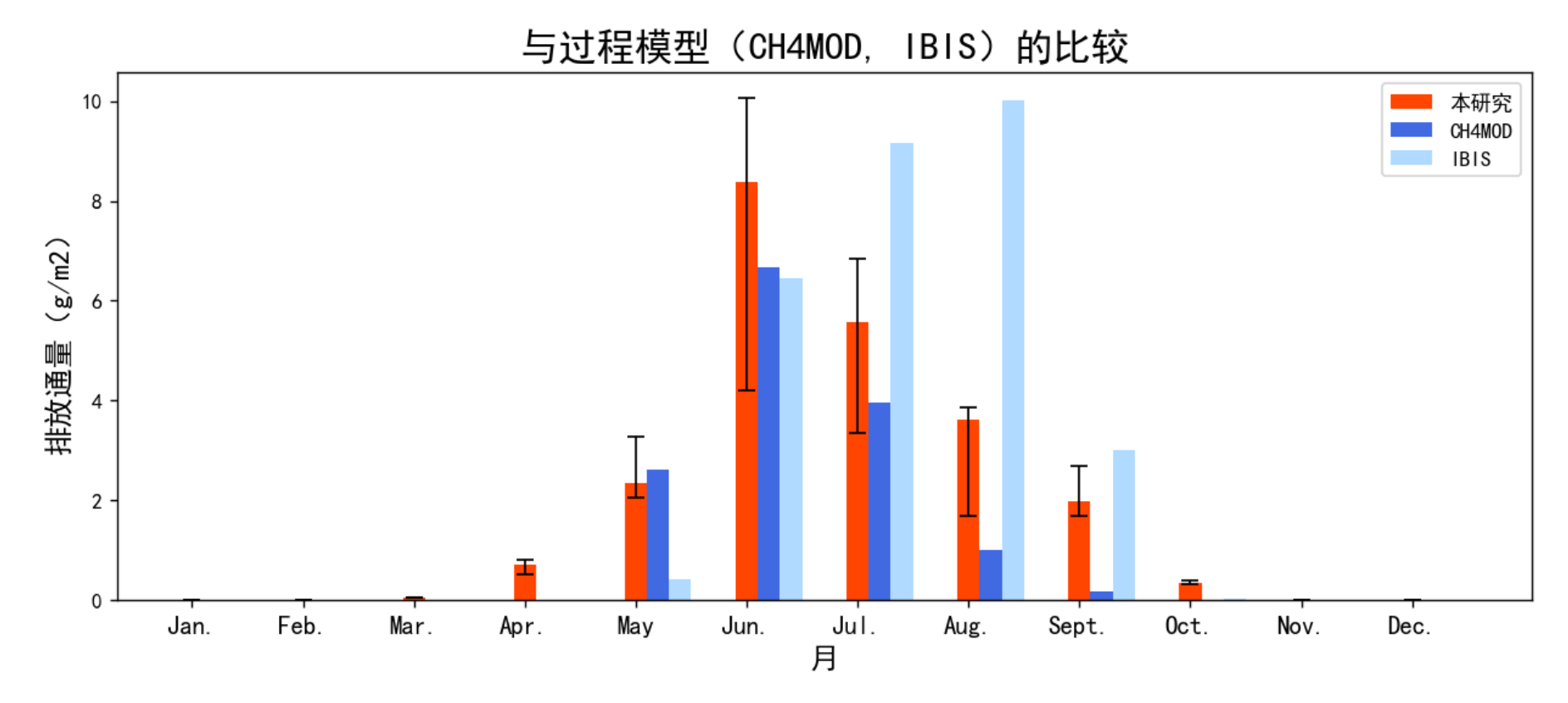
### 黑龙江水稻甲烷排放每月总量



- 水稻甲烷排放从4月 (水稻播种阶段) 持续到到10月 (水稻成熟阶段);
- 排放峰值峰值出现在6月,与水稻的分蘖期重合(淹水期);

## 与"自下而上"过程模型的排放通量比较

- 过程模型考虑环境因素 (温度,土壤PH值等),水和施肥管理,甲烷的产生、氧化和排放过程等;
- IBIS模型对叶面积指数 (LAI) 更加敏感,对水管理敏感性较弱;
- CH4MOD模型的季节性更依赖于水管理和温度的变化。受低温影响,水稻成熟期甲烷排放减弱。



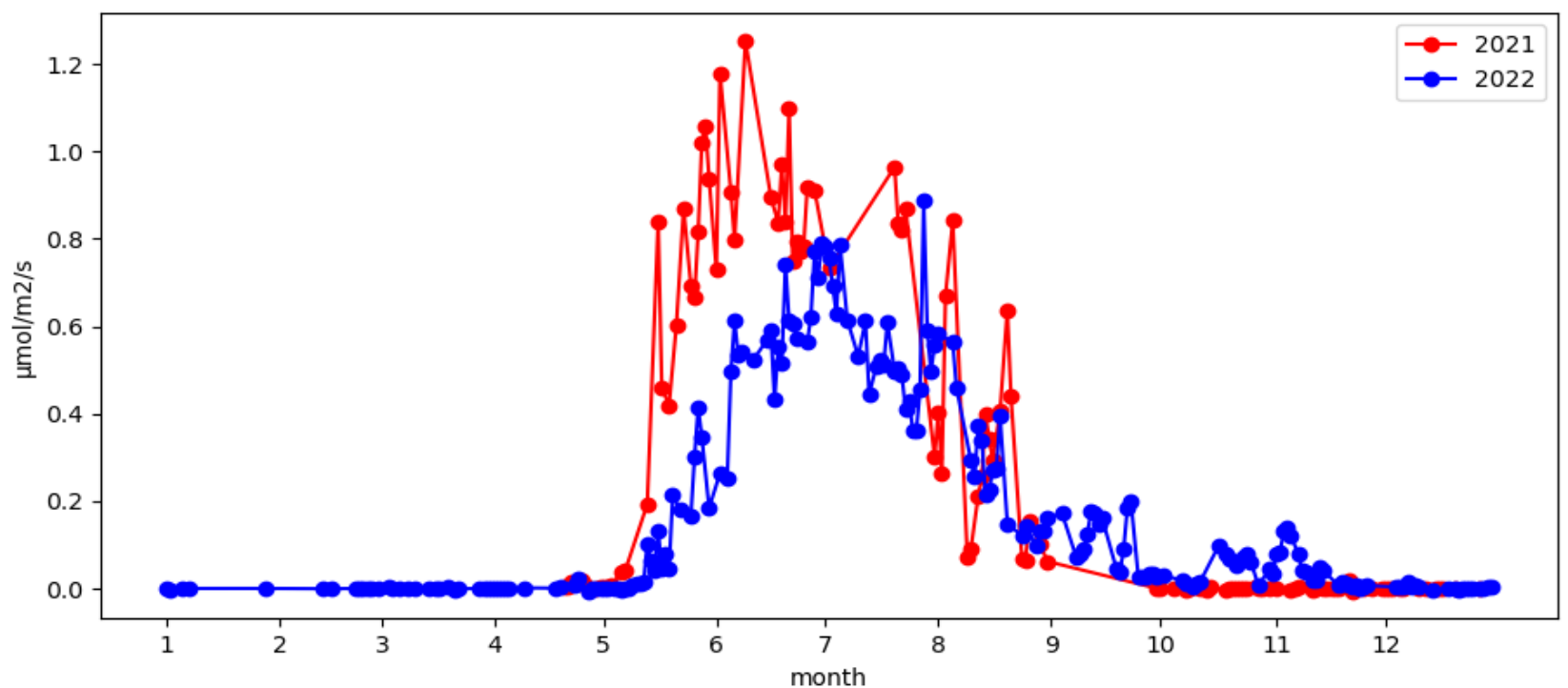
IBIS: 袁文平 & 李施华, 中山大学

CH4MOD: 李婷婷 & 胡祺雯,中科院大气物理所

# 站点观测排放通量的季节性

● 站点观测甲烷排放通量呈现单峰,峰值在6-7月





建三江农场观测数据: 袁文平 & 李施华, 中山大学

### 总结

- 本研究基于反演方法,利用TROPOMI卫星观测估计了黑龙江水稻甲烷排放;
- 黑龙江水稻甲烷排放的年均值为 0.89 (0.57 1.04) Tg a<sup>-1</sup>。
- 黑龙江省水稻甲烷排放呈现单峰,排放峰值出现在六月,与水稻的分蘖期重合;
- 我们的研究结果对于提升和改进"自下而上"的甲烷排放估计有一定的参考价值。